

U-Zr 금속연료의 열적 안정성 및 연료심/피복재와의 계면반응

Thermal Stability of the U-Zr Metallic Fuel and Interface Reaction in the Fuel/Cladding

조항식, 박종혁, 송재숙, 주근식, 고영모, 박종만, 이종탁, 손동성

한국원자력연구소
대전광역시 유성구 덕진동 150

요 약

동심압출한 U-Zr 금속연료를 590°C와 700°C에서 열처리 후 열적 안정성과 심재/피복재 계면 반응을 연구하였다. U-Zr 연료봉은 열처리 후 부피 및 밀도의 변화가 거의 없는 좋은 열적 안정성을 나타내었고, 심재와 피복재의 계면은 gap이 없는 금속학적으로 접합되어 있다. 590°C에서 열처리한 후에는 길게 배열되어 있던 α -Zr상이 잘게 끊어져 구형으로 변화되며, 700°C에서 열처리한 후에는 고용체 상태로 되어 압출 조직특성이 없어지고, 열처리 후 냉각하면서 상변화가 일어나 α -Zr상이 구형으로 형성된다. 열처리 시간이 증가할수록 연료심/피복재 계면 반응층의 두께가 증가하였으며, 590°C에 비하여 700°C의 경우가 반응층이 더 두껍게 나타났다. 590°C의 경우에는 장기간 열처리 시 심재/피복재 계면에 기공이 생성되었다. 이는 확산계수의 차이로 인한 Kirkendall 효과로 생각된다.

Abstract

This study has been undertaken to investigate both the thermal stability of the U-Zr metallic fuel and the interface reaction between core and cladding after heat treatments at 590°C and 700°C. After heat treatment, U-Zr fuel rod has a good thermal stability with no change in the volume and density. The interface between fuel/cladding after co-extrusion showed a metallurgical bonding. After heat treatment at 590°C, the long aligned α -Zr phase was changed into round shape. But after heat treatment at 700°C, α -Zr phase was changed into solid solution and decomposed to the round shaped α -Zr and δ (UZr₂) phase. Thickness of reaction layer between core and cladding was increased with increasing the heat treatment time and became thicker at 700°C compared to that at 590°C. Small porosities were found along the interface of fuel/cladding after heat treatment at 590°C. This phenomena can be explained by Kirkendall effect due to a deference of the diffusion coefficient between U and Zr atoms.

1. 서 론

U-Zr, U-Pu-Zr 합금 등 금속연료는 세라믹 연료에 비하여 높은 열전도도를 가지고 있어 핵연료내부의 온도를 급격하게 떨어뜨려 사고시 안전에 유리하며 연료의 효율을 증대할 수 있고, 연료의 낮은 운전 온도는 핵생성 물질(fission production)의 축적으로 기인되는 팽윤(solid swelling)을 억제한다. 또한 연료 제조방법의 편리성과 사용 후 연료의 간편한 처리 등의 좋은 점들을 가지고 있어 다양한 연구개발이 진행되고 있다[1-4].

금속연료에 동심 압출기술을 적용하여 핵연료를 제조하면 피복관에 장입하여 사용하는 UO_2 pellet의 세라믹 연료나 미국의 IFR 금속연료에 비하여 다양한 모양의 핵연료를 제조할 수 있으며 제조공정의 단순화로 경제성을 향상시켜 제조원가를 현저히 줄일 수 있다. 동심압축 기술을 적용하여 금속연료를 제조하는 경우 피복재인 Zr-1Nb은 내식성이 우수하고, 운전 중 부식 균열(cracking)이 잘 일어나지 않으며, 중성자 조사중 소성변형이 가능하여 팽윤에 도움이 되며, 좋은 기계적 성질을 가지고 있어 산업적으로 널리 사용된다[5].

이러한 장점에도 불구하고 금속연료는 세라믹연료에 비해 열 팽창율이 크고 결정구조상의 이방성으로 인하여 인접한 결정립간의 조사성장 차이로 인해 생기는 응력을 결정립계가 수용하지 못하고 공극(cavity)을 형성하여 입계 균열의 원인이 되며, 동시에 팽윤(swelling) 현상이 수반된다.[6-8]

또한 기존의 금속연료는 U-Zr 심재를 다양한 조성의 stainless steel 계의 피복관에 장입하고 그 간극을 Na로 채워 열 전달을 돋는 방법을 사용하여 팽윤 발생시 심재와 피복재 사이의 계면 반응이 관심의 대상이 되었다[1,3, 9-12]. 본 연구에 사용된 금속연료는 U-Zr 심재와 Zr-1Nb 피복재를 동심압출하여 제조된 것으로서 심재와 피복재가 금속학적으로 접합되어 있으므로 계면반응의 유무가 더욱 중요시된다.

따라서 본 실험에서는 동심압출한 U-Zr 금속연료의 U-Zr 심재와 Zr-1Nb 피복재의 접합상태를 확인하고, 피복된 금속연료를 운전온도 및 상 변화 온도이상에서 장시간 열처리하여 연료심재인 U-Zr합금의 열적 안정성을 분석하고, 심재/피복재 계면에서 일어나는 반응을 분석하였다.

2. 실험방법

U분말은 원심분무장치에 감순 우라늄 derby를 용해 분무하여 구형분말을 제조하여 사용하였으며, 제조된 분말을 체로 분석하여 $125\mu\text{m}$ 이하 만을 사용하였고, 그 평균입도는 약 $48\mu\text{m}$ 이었다. Zr분말은 hydriding-dehydriding 방법으로 제조된 평균입도가 $45\mu\text{m}$ 이고, $125\mu\text{m}$ 이하인 분말을 사용하였다.

Zr분말과 U분말을 60/40 wt% 비율로 V 형태의 tumble mixer를 사용하여 75 rpm으로 2시간 동안 혼합하였다. 압분은 건전한 압분체의 제작을 위해 double action press을 사용하여 4400kgf/cm^2 의 압력을 가하여 20초간 유지시켜 압분하였으며, 1회 압분양은 100g 정도로 하였다.

압분체의 소결은 산화를 방지하기 위하여 고진공이 유지되는 진공소결로를 사용하였으며, 알루미나(Al_2O_3) 도가니와 시편의 반응을 막기 위하여 도가니 바닥에 이트리아(Y_2O_3) 분말을 도포한 지르코니아(ZrO_2) 판을 놓은 후 그 위에 시편을 올려놓고 소결하였다. 소결 조건은 1500°C 에서 2시간으로 하였으며, Zr 분망에서 발생되는 가스를 제거하기 위하여 600°C 에서 8시간 정도 유지한 후 소결 공정을 진행하였다.

제조된 U-Zr 소결체를 가공한 $\text{Zr}-1\text{wt\%Nb}$ 캔에 넣은 후 진공 분위기에서 전자빔 용접으로 밀봉한 후 간접방식으로 고온에서 동심 압출하여 심재와 피복재가 접합된 일체형 연료봉을 제조하였다. 연료봉을 절단하여 석영관에 진공 밀봉한 후 BOX 로를 사용하여 상태도에서 상변화 온도인 610°C 전후 온도인 590°C 와 700°C 에서 500시간, 1000시간 열처리 후 공냉하였다.

시편 열처리 전/후의 무게, 부피 및 밀도를 측정하고 길이방향과 단면방향으로 절단하여 연마한 다음 주사전자 현미경(SEM)을 이용하여 BE (Back-scattered Electron) image의 미세조직과 EDS 분석을 통하여 U-Zr 합금의 열적 안정성을 분석하고, 심재/피복재의 계면 반응을 분석하였다.

3. 결과 및 고찰

순수 U 금속의 이방성으로 인하여 금속핵연료의 조사성장이 일어나 치수의 안정성이 떨어진다. 이러한 문제점을 해결하고자 U 금속에 Mo, Zr, Nb 등의 원소를 첨가하여 U 합금 제조한다. 핵연료로 사용하는 U 합금 중 U-Zr 합금이 열적인 안정성이 우수하다.

U-Zr 합금의 열적 안정성은 장기간 연료의 교환 없이 운전하는 일체형 핵연료 특성상 매우 중요하다. Table 1은 590°C , 2는 700°C 의 열처리 온도에서 1000시간까지의 연료봉의 물성치 변화를 나타낸 표이다. 이때의 시편은 동심압출한 U-Zr 연료봉을 길이 50mm로 절단하여 연료심과 피복재가 합쳐진 무게, 부피, 밀도를 나타낸다. 590°C 에서 열처리한 연료봉의 무게, 부피, 밀도가 시간이 1000hr. 까지 증가하여도 거의 변화를 보이지 않았다. 열처리 온도가 700°C 인 table 2에서도 시간증가에 따른 변화가 나타나지 않는다. 이는 590°C 와 700°C 온도에 관계없이 열처리 시간 1000hr. 까지는 열처리에 따른 팽윤현상은 일어나지 않은 것으로 보인다.

Table 1. Physical properties variation with heat-treatment time at 590°C .

	Before HT	300hr.	500hr.	750hr.	1000hr.
Weight (g)	10.3208	10.3190	10.3193	10.3218	10.3205
Volume (cm^3)	1.3053	1.3075	1.3075	1.3033	1.3070
Density (g/cm^3)	7.9068	7.8908	7.8920	7.9196	7.8950

Table 1. Physical properties variation with heat-treatment time at 700°C.

	Before HT	300hr.	500hr.	750hr.	1000hr.
Weight (g)	10.0183	10.0190	10.0175	10.0173	10.0175
Volume (cm ³)	1.2658	1.2710	1.2725	1.2673	1.2723
Density (g/cm ³)	7.9138	7.8822	7.8721	7.9046	7.8730

Fig. 2는 열간 동심압출한 연료봉의 연료심과 피복재의 접합상태를 보여주는 SEM BE image이다. 동심 압출한 연료봉의 심재인 U-Zr 합금은 기지조직인 흰색의 δ 상(UZr_2)과 회색의 α -Zr상으로 이루어져 있다. 단면방향이나 길이방향 모두 α -Zr상이 균일하게 분포되어 있으며, 연료봉 길이 방향의 경우 압출 방향을 따라 α -Zr상이 나란하게 배열되어 있고, 연료심/피복재의 접합이 기계적인 결합(mechanical bonding)이 아닌 금속학적인 결합(metallurgical bonding)을 이루고 있음을 보여준다. 이러한 심재와 피복재의 계면에 gap이 없는 금속학적인 접합은 핵연료 운전 중 열 전달에 매우 유리하므로 핵연료의 연소도를 증가시킬 수 있다.

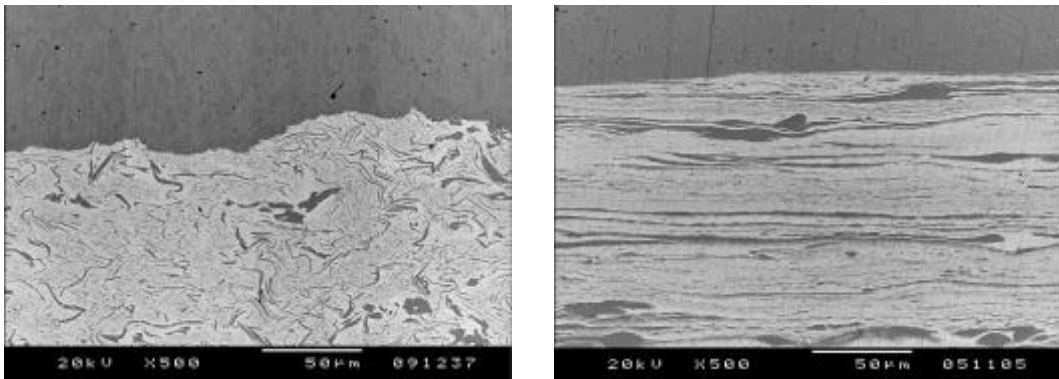


Fig. 2. SEM BE images of the core/clad boundary in the fuel rod.

(transverse-left, longitudinal-right cross section)

Fig. 3은 590°C와 700°C에서 시간에 따라 열처리한 연료심의 SEM BE image를 나타내었다. U-Zr 합금의 2 상 구역인 590°C에서 열처리가 진행됨에 따라 열처리 전에 길게 배열되어 있던 α -Zr상이 잘게 끊어져 구상화가 이루어진다. 열처리 시간이 길어짐에 따라 구상화가 더욱 더 진행되어 α -Zr상이 구형의 형태로 형성된다. 이러한 현상은 압출로 인하여 길게 배열되어 있던 α -Zr상이 열처리가 진행됨에 따라 표면에너지를 줄어드는 안정한 구형으로 변화하는 것으로 생각

된다[9-12].

한편 U-Zr 합금의 1상 구역인 700°C에서 열처리한 미세조직은 590°C에서 열처리한 조직보다 α -Zr상 분해가 더 진행되어 압출 조직특성이 거의 보이지 않는다. 이러한 현상은 590°C에서 진행된 확산에 의한 안정상 형성이 아닌 상변화에 의한 안정상으로 생성 기구(mechanism)이 다르다. 700°C에서 열처리가 진행되면 2상 구역이 아니고 1상 구역이므로 α -Zr상과 δ 상(UZr_2)이 분해되어 고용체(solid solution)를 이루며 1상으로 되어 연료봉의 압출한 조직특성이 없어져 열처리 되며, 열처리 후 냉각하면서 고용체인 1상이 상변화가 일어나 2상인 α -Zr상과 δ 상(UZr_2)이 생성된다[8]. 열처리 온도 700°C는 상변화 온도인 615°C보다 약간 높은 온도구역으로 α -Zr상이 완전하게 분해되지 않고 일부 남아있는 것을 길이방향 단면에서 알 수 있다. 따라서 냉각되면서 상변화에 의하여 생성된 α -Zr상은 확산에 의하여 형성되므로 둥근 형태로 590°C에서의 조직특성과 다른 특성을 나타낸 것으로 판단된다.

Fig. 3 SEM BE image of the center area after heat-treatment with various time at 500°C and 700°C.

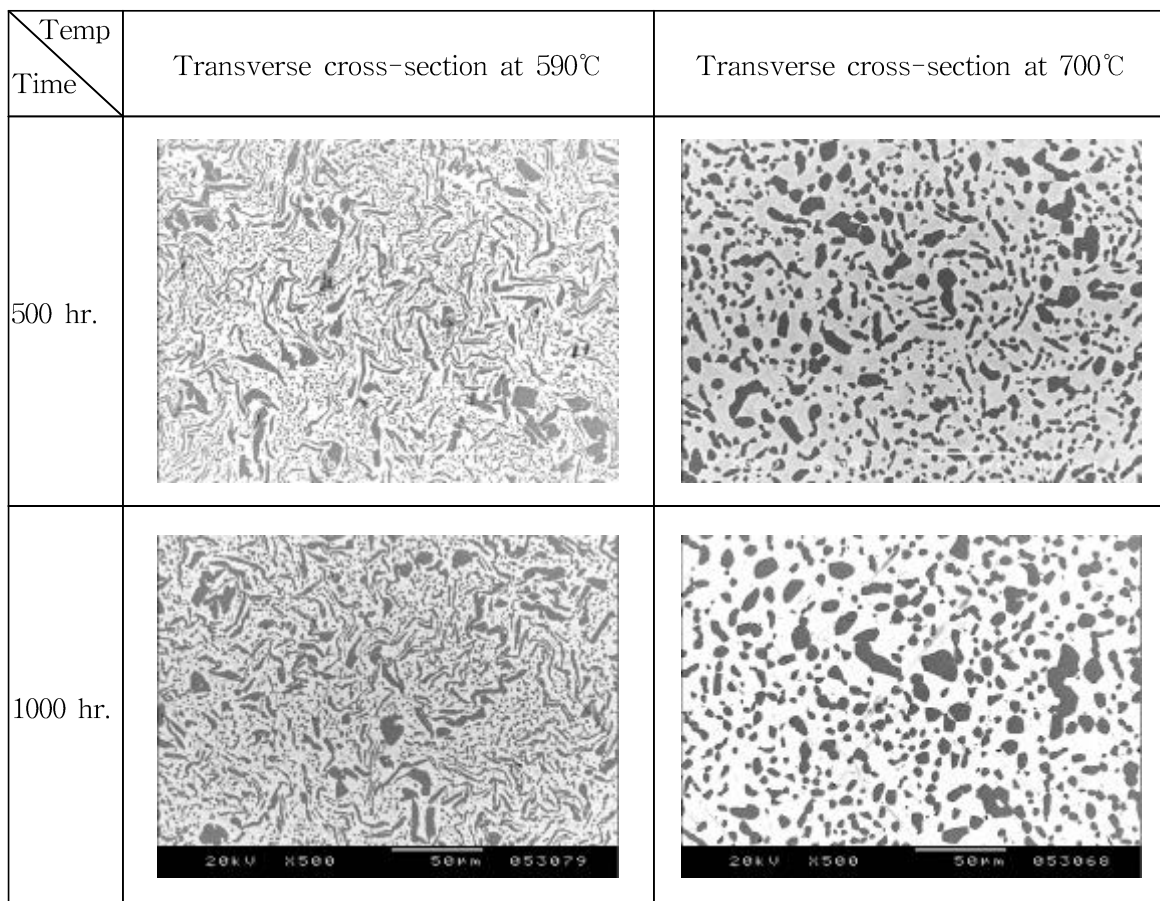


Fig. 4는 590°C에서 열처리한 연료심/피복재 계면의 SEM BE image이다. 열처리가 진행됨에 따라 U원자가 피복재인 Zr-1Nb 쪽으로 확산이 이루어져 계면에서의 반응층 두께는 열처리 시간에 따라 증가하는 것을 보여준다. U원자의 확산은 피복재인 Zr-1Nb의 입계를 따라 확산이 일어나며, 반응이 지속적으로 진행되면 연료심/피복재 계면에서 피복재의 입자(grain)가 분리되는 것을 보여준다. 590°C, 700°C에서 1000hr. 열처리한 연료심/피복재 계면에서는 기공이 나타나지 않으나, 590°C, 1500hr. 열처리한 연료심/피복재 계면에서는 계면을 떠라 작은 기공이 형성되었다. 이러한 현상은 확산 계수가 큰 U 원자가 피복재 쪽으로 확산이 활발하게 일어나 U, Zr 원자 확산속도 차에 의한 Kirkendall 효과로 인하여 기공이 형성된 것으로 판단된다[7.]

Fig. 5는 700°C에서 열처리한 연료심/피복재 계면의 SEM BE image이다. 열처리가 진행됨에 따라 590°C에서 열처리한 결과와 유사한 결과를 나타낸다. 그러나 590°C에서 열처리한 연료심/피복재 계면을 따라 형성되는 기공이 보이지 않는다.

Fig. 6은 열처리 온도 590°C와 700°C에서 시간에 따른 반응층의 두께를 나타낸 것이다. 열처리 시간이 증가할수록 반응층의 두께가 증가하였으며, 590°C에 비하여 700°C의 경우가 반응층이 더 두껍게 나타났다. 각 온도조건에서 계면에서의 피복재와 심재의 반응은 Zr, U 원자의 상호 확산으로 이루어지므로 열처리 시간이 증가하면 계면의 반응층 두께도 증가하는 것으로 생각된다.

4. 결 론

동심압출로 제조된 U-Zr 금속연료를 590°C와 700°C에서 열처리 후 열적 안정성과 심재/피복재 계면 반응을 분석한 결과 다음과 같은 결론을 얻었다.

- 열처리 전,후의 부피, 밀도는 큰 변화가 없었다. 이는 590°C와 700°C에서는 장시간 열처리에 따른 팽윤현상이 거의 일어나지 않은 것으로 U-Zr 합금의 열적 안정성이 우수함을 알 수 있었다.
- 심재와 피복재의 계면에 gap이 없는 금속학적인 결합(metallurgical bonding)을 이루고 있어 핵연료 운전 중 열 전달에 매우 유리하다.
- 590°C에서 열처리가 진행됨에 따라 열처리 전에 길게 배열되어 있던 α -Zr상이 잘게 끊어져 표면에너지가 감소하는 안정한 구형으로 변화하며, 700°C에서의 열처리는 고용체 상태로 되어 압출 조직특성이 없어지고, 열처리 후 냉각하면서 상변화가 일어나 α -Zr상이 구형으로 형성되므로 590°C에서와 형성 기구가 다른 특성을 보인다.
- 열처리 시간이 증가할수록 연료심/피복재 계면 반응층의 두께가 증가하였으며, 590°C에 비하여 700°C의 경우가 반응층이 더 두껍게 나타났다.
- 590°C의 경우에는 장기간 열처리 시 심재/피복재 계면에 기공이 생성되었다. 이는 확산계수의 차이로 인한 Kirkendall 효과로 보여진다.

Fig. 4 SEM BE image of the core/cladding interface after heat-treatment with various time at 590°C.

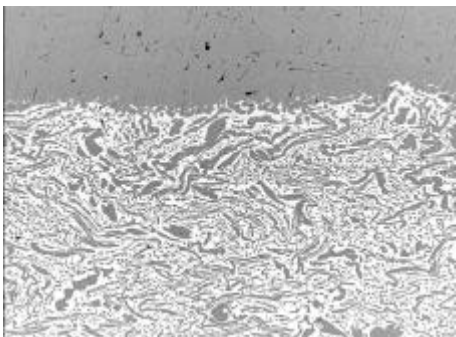
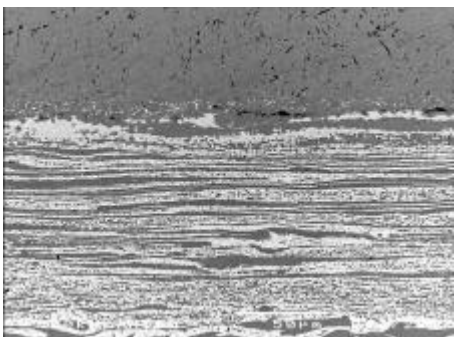
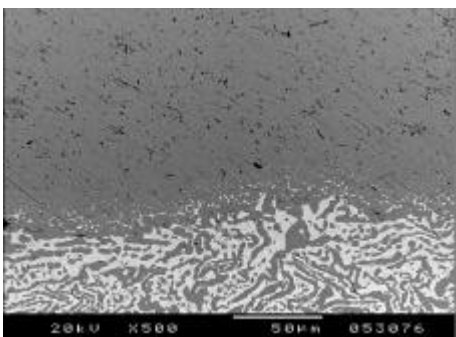
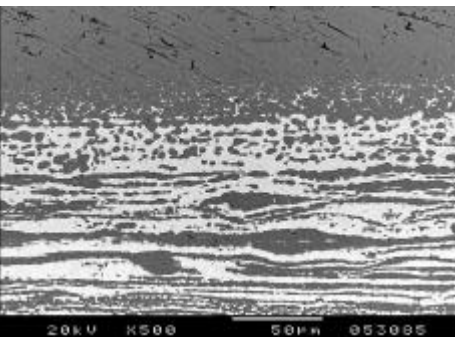
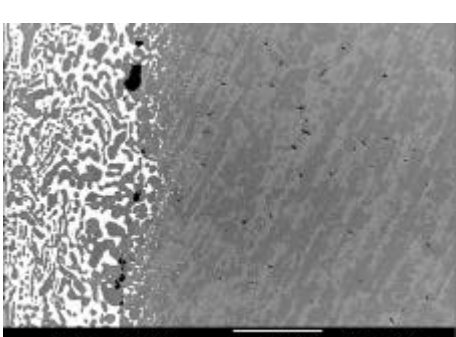
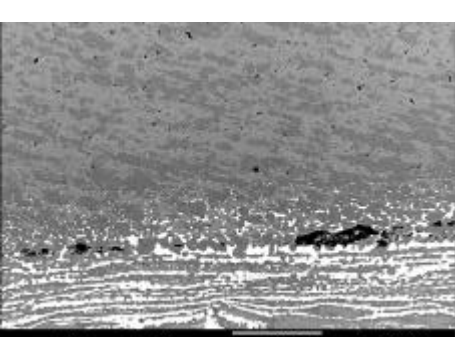
Temp Time \	Transverse cross-section at 590°C	Longitudinal cross-section at 590°C
500 hr.		
1000 hr.		
1500 hr.		

Fig. 5 SEM BE image of the core/cladding interface after heat-treatment with various time at 700°C.

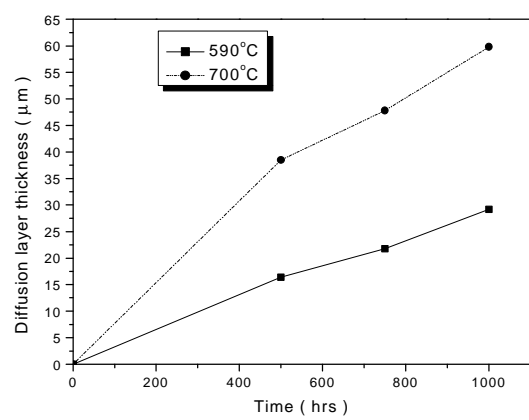
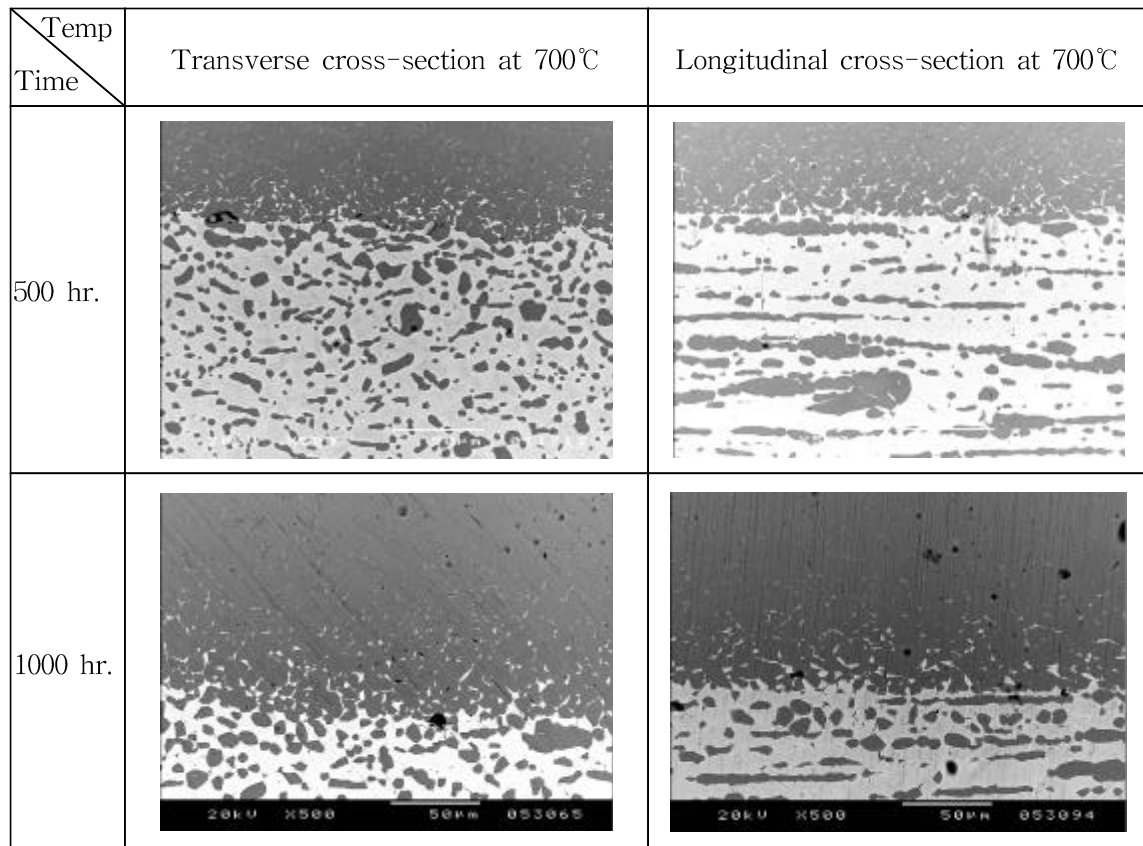


Fig. 6 Thickness of the reaction layer with heat treatment time at 590°C and 700°C.

참고문헌

1. G.L.Hofman, L.C.Walters, and T.H.Bauer, Progress in Nuclear Energy, Vol.31, No.1/2, pp.83-110,1997
2. C.E. Till, I. Chang Y. and W.H. Hannum, Prog. in Nucl. Energy, Vol. 31, 1997, pp. 3-11.
3. D.D. Keiser, Jr. and M.A. Dayananda, Metallurgical Transaction A, 25A, 1994, pp. 1649.
4. G.L. Hofman, L.C. Walters and T.H. Bauer, Prog. in Nucl. Energy, Vol. 31, 1997, pp. 83-110
5. Nikishov O.A., et al. "U-Zr metal fuel" Private communication.
6. H.Okamoto, Journal of Phase Equilibria, 13(1), 1992
7. A.D. Smigelskas and E.O. Kirkendal, Trans. Met. Soc. AIME, 171:130 (1947)
8. Phase Transformation in Materials, 2nd Ed. D.A. Porter and K.E. Easterling., 1992
9. 황준연, “U-Zr계 금속연료의 열적 안정성 및 Stainless Steel계 피복관과의 확산반응”, 전북대학 교, 1999
10. 조항식, 이종탁, 박종만, 송재숙, 김훈, 주근식, 손동성, 원자력학회 ‘2001춘계학술발표회논문집’
11. 조항식, 이종탁, 박종만, 송재숙, 주근식, 손동성, 원자력학회 ‘2002 춘계학술발표회 논문집’
12. 김훈, “U-Zr 합금과 피복재 계면에서의 확산반응”, 충남대, 2001